



## نخجش از دور و سامانه اطلاعات جغرافیایی در منابع طبیعی (سال هفتم / شماره چهارم) زمستان ۱۳۹۵

نمایه شده در سایت: پایگاه استنادی علوم جهان اسلام، جهاد دانشگاهی، مگ ایران، نورمگز

آدرس وب سایت: <http://girs.iaubushehr.ac.ir>



# پتانسیل یابی مناطق مستعد سیل با استفاده از مدل شاخص آماری و وزن شواهد (مطالعه موردی: حوزه آبخیز مادرسو، گلستان)

صفورا سیاه کمری<sup>۱</sup>، حسین زینی وند<sup>۲\*</sup>

۱. دانشجوی کارشناسی ارشد مهندسی آبخیزداری، دانشگاه لرستان

۲. دانشیار دانشکده کشاورزی، دانشگاه لرستان

### مشخصات مقاله

### چکیده

پیشینه مقاله:

دریافت: ۱۶ آذر ۱۳۹۵

پذیرش: ۹ بهمن ۱۳۹۵

دسترسی اینترنتی: ۲۳ بهمن ۱۳۹۵

#### واژه‌های کلیدی:

استعدادیابی سیل

شاخص آماری

وزن شواهد

مادرسو

هدف این پژوهش تهیه نقشه مناطق مستعد وقوع سیل در حوزه آبخیز مادرسو استان گلستان است. برای انجام تحقیق از مدل‌های شاخص آماری و وزن شواهد، لایه‌های مختلف اطلاعاتی و سیستم اطلاعات جغرافیایی استفاده شد. نتایج ارزیابی دو مدل نشان داد که از بین عوامل مؤثر در وقوع سیل و آب‌گرفتگی، ارتفاعات کمتر از ۵۰۰ متر، جهت شب مسطح، تراکم زهکشی بیش از  $0.33 \text{ کیلومتر}^2$  بر کیلومترمربع، فاصله ۲۰۰۰-۵۰۰ متری رودخانه، تیپ خاک مالی‌سول، سنگ‌های دوران کواترنری و همچنین اراضی کشاورزی با بیشترین وزن‌ها، مهم‌ترین عوامل علتی وقوع رخداد سیل و آب‌گرفتگی حوزه آبخیز مادرسو می‌باشند. نتایج همچنین نشان داد  $49/9$  درصد مساحت حوزه آبخیز مادرسو در مناطقی بالستعداد وقوع سیل خیلی زیاد و زیاد و حدود  $50/1$  درصد مساحت حوزه در مناطقی بالستعداد وقوع سیل متوسط و کم واقع است. صحت و دقت دو مدل بکار گرفته شده با استفاده از منحنی ROC ارزیابی شد. دقت مدل شاخص آماری  $83\%$  و دقت مدل وزن شواهد  $80/7\%$  تخمین زده شد. این وضعیت نشان‌دهنده دقت خیلی خوب دو مدل در استعدادیابی وقوع سیل در حوزه آبخیز مادرسو استان گلستان می‌باشد.

\*پست الکترونیکی مسئول مکاتبات: hzeinivand@gmail.com

## مقدمه

مدیریت و بهره‌برداری از آب‌های زیرزمینی در آینده از مدل وزن شواهد استفاده کردند. دقت مدل با استفاده از سطح زیر منحنی، برابر  $72/2$  درصد به دست آمد که نشان می‌دهد اطلاعات و نقشه تولیدشده از آن می‌تواند برای مدیریت آب‌های زیرزمینی منطقه و نیز پروژه‌های مربوط به اکتشاف منابع آب‌های زیرزمینی مورداستفاده قرار گیرد.

لی و همکاران (۱۵) مدل نسبت فراوانی را برای پیش‌بینی نقشه حساسیت پهنه آب‌گرفتگی با استفاده از GIS بکار برdenد. نتایج بیانگر دقت بالای مدل مذبور ( $91/5$  درصد) در پیش‌بینی بود. پرادان (۱۹) نقشه پهنه‌بندی حساسیت سیل را در کلاندان مالزی با استفاده از رگرسیون لجستیک تهیه نمودند، نتایج نشان داد هر دو روش احتمال دو متغیره و رگرسیون لجستیک روش‌هایی مناسب برای تحلیل آماری پهنه‌بندی حساسیت سیل هستند. شفایپور‌تهرانی و همکاران (۲۵) نیز مطالعه‌ای در مالزی، برای پتانسیل یابی استعداد سیل از ترکیب روش‌های نسبت فراوانی، رگرسیون لجستیک و درخت تصمیم‌گیری (Decision tree) بهره بردن. نتایج پژوهش آنان نشان داد که استفاده از روش‌های ماشین یادگیری از جمله درخت تصمیم‌گیری موجب افزایش دقت روش‌های مذبور در تهیه نقشه استعداد سیل می‌گردد. کائو و همکاران (۱۲) در تحقیقی به تهیه نقشه مناطق حساس به خطرات سیل برق‌آسا با استفاده از روش‌های نسبت فراوانی و شاخص آماری اقدام نمودند. آن‌ها از  $85$  موقعیت مربوط به سیل‌های اتفاق افتاده برای آموزش و اعتبارسنجی این مدل‌ها استفاده نمودند. در این تحقیق از  $10$  عامل تأثیرگذار بر وقوع این‌گونه سیل‌ها، بهره گرفته شد. درنهایت به این نتیجه رسیدند که مدل نسبت فراوانی با استفاده از یک روش طبقه‌بندی طبیعی، بهتر از روش شاخص آماری قادر است که مناطق مستعد سیل‌های ناگهانی را مشخص نماید.

شفایپور‌تهرانی و همکاران (۲۸) ارزیابی حساسیت سیل با استفاده از دو مدل نسبت وزن شواهد و ماشین بردار پشتیبانی برای منطقه ترنگانو مالزی انجام دادند، آن‌ها نتیجه گرفتند که ترکیب نتایج دو مدل دارای دقت بالاتری نسبت به نتایج

هزاران سال است که بشر با حوادث گوناگونی چون سیل، زلزله و طوفان مواجه است و هر روز که می‌گذرد، گامی برای شناخت و کنترل آن‌ها بر می‌دارد، اما هنوز دانش بشری به مهار و کنترل کامل این پدیده‌ها دسترسی پیدا نکرده است (۳۰). پدیده‌ی سیل یکی از پیچیده‌ترین و مخرب‌ترین رویدادهای طبیعی است که بیش از هر بلای طبیعی دیگری، جان و مال انسان و شرایط اقتصادی و اجتماعی جامعه را به خطر می‌اندازد (۴ و ۱۳). وقوع سیل در بخش‌هایی از استان گلستان که در سال‌های اخیر متأسفانه با تلفات سنگین انسانی و خسارت‌های زیاد مادی همراه بود، نیازمند مطالعه است (۸). پیش‌بینی وقوع سیل در حوزه‌های آبخیز و تعیین مناطق مستعد آب‌گرفتگی به دلیل کافی نبودن آمار و اطلاعات ایستگاه‌های هیدرومتری دشوار بوده و این مشکل در بسیاری از مناطق مشاهده می‌گردد. بنابراین تهیه نقشه مناطق مستعد سیل و آب‌گرفتگی می‌تواند در برنامه‌ریزی‌های مهار و کنترل سیل مؤثر باشد. مدل‌های شاخص آماری (Statistical Index, SI) و وزن شواهد (Weight of Evidence, WoE) مدل‌هایی هستند که برای پهنه‌بندی خطرات مورد استفاده قرار گرفته‌اند. پتانسیل یابی استعداد سیل از جمله مطالعاتی است که در دنیا سابقه طولانی نداشته و جزو جدیدترین مطالعات در حیطه سیلاب است که از جمله آن‌ها می‌توان به موارد زیر اشاره نمود.

رگمی و همکاران (۲۲) با استفاده از سه مدل شاخص آماری، وزن شواهد و نسبت فراوانی (Frequency Ratio) اقدام به تهیه نقشه حساسیت به لغزش در هیمالیا نمودند که درنهایت تجزیه و تحلیل نشان داد از بین سه مدل فوق، مدل نسبت فراوانی با نرخ موفقیت  $76/8$  و دقت پیش‌بینی  $75/4$  بهتر از دو مدل دیگر ظاهرشده ولی دو مدل وزن شواهد و شاخص‌های آماری نیز به ترتیب با نرخ موفقیت  $75/6$  و  $75/5$  و دقت پیش‌بینی  $74/9$  و  $74/6$  در تعیین مناطق حساس به لغزش خوب عمل کرده‌اند.

اوہ و لی (۱۷) در منطقه یوهانگ کره با هدف ارزیابی کمی و تهیه نقشه پتانسیل بهره‌وری آب‌های زیرزمینی، برای

پژوهش نشان داد که دو مدل نامبرده دارای نتایج تقریباً مشابه و قابل قبول هستند و برای استراتژی‌های کاهش خطر سیل مفید و کاربردی می‌باشند.

زینی وند و قربانی نژاد (۳۲) برای تهیه نقشه پتانسیل آب زیرزمینی در منطقه کوهدهشت لرستان، چهار مدل شاخص آماری، نسبت فراوانی، وزن شواهد و تابع شواهد قطعی را بر روی ۱۷۱ چاه اجرا نمودند. پس از بررسی ۱۲ فاکتور مؤثر نظیر ارتفاع، شبیب، جهت شبیب، شاخص رطوبت توپوگرافی، لیتوولوژی، کاربری اراضی، فاصله از رودخانه و غیره درنهایت برای همه ۴ مدل ذکر شده، دقت سطح زیر منحنی بالای ۰/۹۰ محاسبه گردید.

هدف از این تحقیق تهیه نقشه مناطق مستعد وقوع سیل با استفاده از مدل شاخص آماری و وزن شواهد در حوزه آبخیز مادرسو در استان گلستان است.

## مواد و روش‌ها

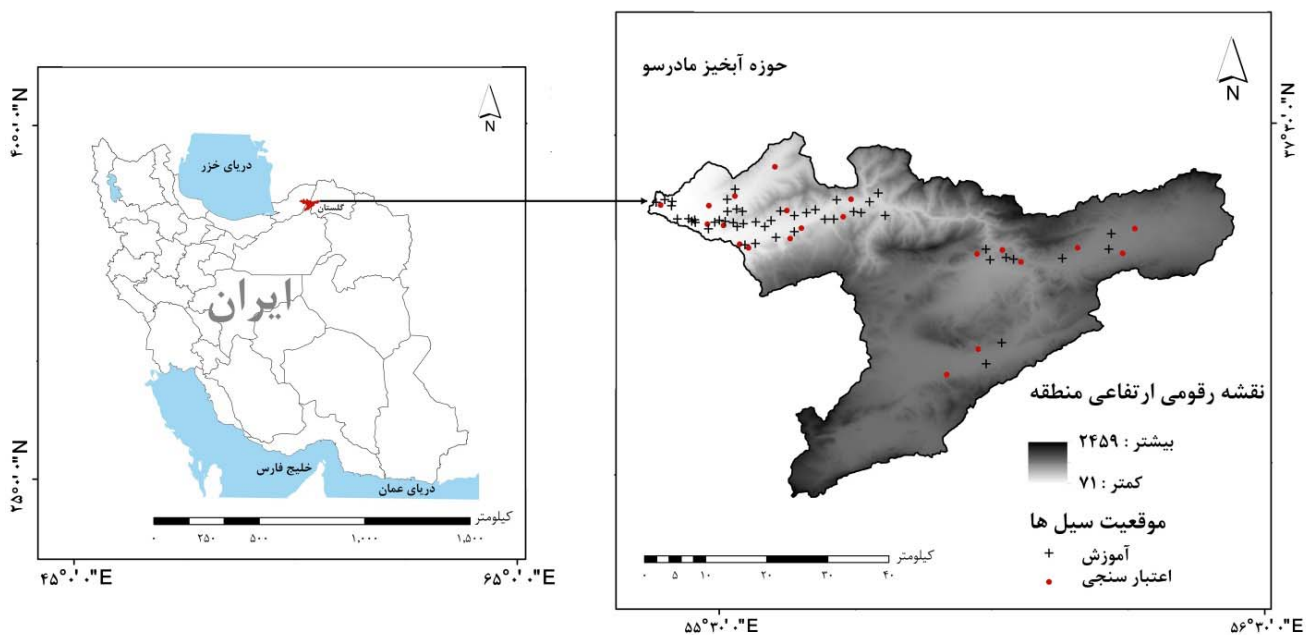
### منطقه مورد مطالعه

حوزه آبخیز مادرسو از زیر حوزه‌های شرقی حوزه آبخیز گرگان رود است که در طول‌های جغرافیایی<sup>۱</sup> ۵۵°۲۱' تا ۵۶°۲۸' شمالي و عرض‌های جغرافیایی<sup>۲</sup> ۳۶°۰' تا ۳۷°۰' طول شرقی واقع است (شکل ۱). این حوزه آبخیز که از نظر تقسیمات سیاسی در سه استان سمنان، گلستان و خراسان قرار دارد و با مساحت حدود ۲۴۰۰ کیلومترمربع، یکی از معروف‌ترین حوزه‌های آبخیز استان گلستان می‌باشد که به جهت سیل‌های مرگبار در سال‌های ۱۳۸۰ و ۱۳۸۱ شهرت دارد. (۱۰).

مدل‌ها به صورت منفرد است. شفایپور‌تهرانی و همکاران (۲۶) در تحقیقی به منظور پتانسیل‌بایی استعداد سیل از مدل رگرسیون لجستیک استفاده کردند. نتایج آن‌ها نشان داد که نه تنها دقت مدل رگرسیون لجستیک در تهیه نقشه استعداد سیل بالا می‌باشد بلکه در این روش نیازی به کلاس‌بندی پارامترها نیست، بنابراین میزان تأثیر کاربر، برخلاف روش‌های دیگر آماری (نرخ فراوانی، وزن - واقعه و ...) در مدل‌سازی بسیار کاهش می‌یابد. شفایپور‌تهرانی و همکاران (۲۹) ارزیابی حساسیت سیل با استفاده از روش‌های ماشین بردار پشتیبان (SVM) و نسبت فراوانی مبنی بر سیستم اطلاعات جغرافیایی را در مالزی انجام دادند، نتایج بیانگر دقت قابل قبول روش ماشین بردار پشتیبان بود و پارامترهای ارتفاع از سطح دریا و شبیب به عنوان مؤثرترین عوامل شناخته شدند. در نتیجه روش ماشین بردار پشتیبان به عنوان یک ابزار کارآمد و قابل اعتماد در ارزیابی حساسیت سیل معرفی گردید.

روسر و همکاران (۲۳) با استفاده از سنجش از دور و داده‌های توپوگرافی اقدام به تهیه سریع نقشه مناطق سیل گیر در شهر آکسفورد و مناطق مجاور آن در انگلستان نمودند. روش به کاربرده شده آن‌ها با استفاده از رویدادهای واقعیت زمینی مورد ارزیابی قرار گرفت. آن‌ها برای تعیین مناطق سیل گیر با استفاده از صحت کمی فرآیند تهیه نقشه از منبع چندگانه استفاده نمودند و میزان سطح زیر منحنی برابر ۰/۹۵ و ۰/۹۳ به ترتیب برای آموزش و آزمون به دست آمد.

رحمتی و همکاران (۲۰) پهن‌بندی سیل با استفاده از روش‌های نسبت فراوانی و وزن شاهد در استان گلستان انجام دادند، تأثیر ده پارامتر مؤثر در وقوع سیل و موقعیت مکانی ۱۴۴ نقطه سیل در منطقه را مورد بررسی قرار دادند، نتایج این

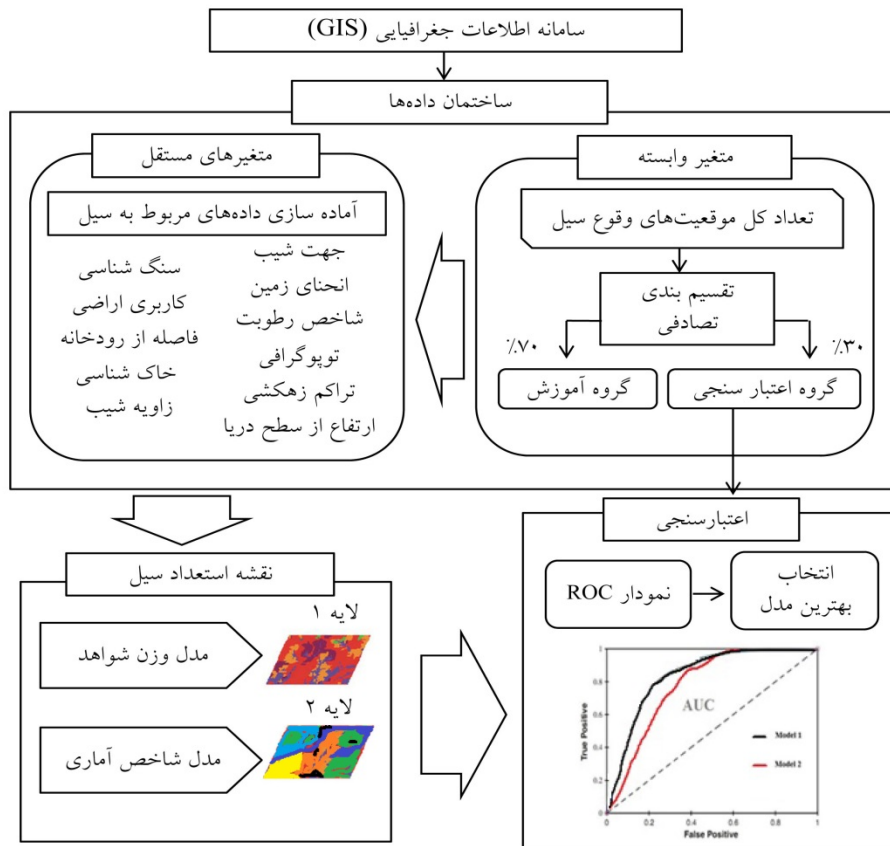


شکل ۱. موقعیت جغرافیایی حوزه مورد مطالعه در ایران و موقعیت نقاط وقوع سیل ثبت شده

خاک‌شناسی، تراکم زهکشی، فاصله از رودخانه، شاخص رطوبت توپوگرافی (Topographic Wetness Index: TWI)، ارتفاع از سطح دریا، زاویه شیب، جهت شیب، انحنای زمین (Curvature) که توسط کیا و همکاران (۱۴)، اسکیلویدیمو و همکاران (۲۵)، لی و همکاران (۱۵)، لیو و دسمیت (۱۶)، شفایپور تهرانی و همکاران (۲۷) و شفایپور تهرانی و همکاران (۲۶) که به مطالعات ارزیابی سیل پرداخته‌اند، بکار گرفته شده است (شکل ۳). در این تحقیق نیز از این لایه‌های اطلاعاتی استفاده گردید. سپس نقشه‌های طبقه‌بندی شده با نقشه موقعیت وقوع سیل در منطقه مورد مطالعه، تلفیق گردیدند. مراحل انجام تحقیق در شکل ۲ ارائه شده است.

## روش تحقیق

جمع‌آوری داده‌ها و ساخت پایگاه داده، بخش مهمی از تحقیقات مبتنی بر سیستم اطلاعات جغرافیایی را شامل می‌شود. داده‌های مختلف به عنوان متغیرهای مستقل در مراحل مختلف استعدادیابی مورد نیاز هستند، این متغیرها در وقوع سیل در یک منطقه خاص تأثیر زیادی دارند. از طرف دیگر، اگر تمام این پارامترها در فرآیند مدل‌سازی بکار روند، حجم زیاد اطلاعات مانع انجام تجزیه و تحلیل‌های سریع و دقیق خواهد شد، بنابراین از بین آن‌ها باید مؤثرترین انتخاب گردد (۱۱ و ۲۴). برخی از متغیرها جهت ارزیابی استعداد سیل عبارت‌اند از کاربری اراضی، زمین‌شناسی، سنگ‌شناسی،



شکل ۲. مراحل انجام تحقیق

تھیه نقشه پارامترهای مؤثر در ایجاد سیل و آبگرفتگی (Quantile)

جهت شیب فاکتور مهمی در تجزیه و تحلیل پایداری ژئومورفولوژیکی می‌باشد چراکه بر برخی از پارامترهای اقلیمی همچون میزان دریافت تابش، باد (خشک، مرطوب) شدت بارش و رطوبت خاک تأثیر دارد. یکی از کاربردهای نقشه جهت شیب تعیین جهت جریان حرکت آب است. نقشه جهت شیب در نرم‌افزار ArcGIS® 10.2 با استفاده از نقشه رقومی ارتفاعی سطح زمین (DEM) تھیه گردید. این نقشه در ۹ گروه، طبقه‌بندی شد (شکل ۳ج).

انحنای زمین یکی از عوامل مؤثر بر پتانسیل سیل حوزه‌های آبخیز است. نقشه انحنای زمین بر اساس مدل رقومی ارتفاع و نرم‌افزار ArcGIS® 10.2 تھیه شد. این نقشه در سه کلاس انحنای مقعر، انحنای محدب و تخت (بدون انحنای) طبقه‌بندی گردید (شکل ۳د).

تراکم زهکشی نسبت طول کل کanal‌های حوزه آبریز به

تھیه نقشه پارامترهای مؤثر در ایجاد سیل و آبگرفتگی

ارتفاع از سطح دریا ارتفاعات مختلف سبب تغییر در ویژگی‌های آب و هوایی شده در نتیجه باعث تفاوت در پوشش گیاهی، خاک و سایر پارامترهای محیطی می‌شود. ارتفاع همیشه نقش مهمی در نقشه حساسیت سیل دارد (۱۸ و ۲۷). نقشه ارتفاع منطقه مورد مطالعه از نقشه‌های رقومی توپوگرافی ۱:۲۵۰۰۰ تھیه و در پنج کلاس طبقه‌بندی گردید (شکل ۳الف).

شیب زمین به دلیل تأثیر مستقیم بر رواناب سطحی و فرست نفوذ، یکی از عوامل مهم در وقوع سیل حوزه‌های آبخیز به شمار می‌رود. بهمنظور تھیه نقشه شیب از مدل رقومی ArcGIS® 10.2 (با قدرت تفکیک ۳۰ متر) و نرم‌افزار ۴۱/۷۸-۵۵/۷۲، ۲۷/۸۵-۴۱/۷۸، ۱۳/۹۳-۲۷/۸۵ و ۵۵/۷۲ (بر حسب درجه) با استفاده از روش طبقه‌بندی چارک

پرکامبرین، کواترنری و سیلورین تهیه گردید (شکل ۴ ط). کاربری اراضی یکی از مهمترین عوامل مؤثر در تشکیل رواناب سطحی و پتانسیل سیل حوزه‌های آبخیز است. نقشه کاربری اراضی حوزه آبخیز مادرسو بر اساس رقومی‌سازی نقشه کاربری اراضی سازمان جنگل‌ها، مراعع و آبخیزداری کشور تهیه شد. نقشه کاربری اراضی به کلاس‌های جنگل، مراعع، کشاورزی و اراضی مسکونی تقسیم گردید (شکل ۴ ی).

### مدل شاخص آماری و وزن شواهد

روش شاخص آماری، تحلیل آماری دومتغیرهای است که توسط وان وستن (۳۱) برای پهنه زمین‌لغزش بکار گرفته شد. در این مدل، ارزش وزن هر طبقه به عنوان لگاریتم طبیعی از تراکم وقوع پدیده (زمین‌لغزش، سیل...) در هر طبقه در کل نقشه تقسیم بر چگالی وقوع پدیده (زمین‌لغزش، سیل...) تعریف شده است (۲۱ و ۳۱). در این تحقیق روش شاخص آماری بر اساس رابطه ۲ محاسبه گردید.

$$W_{SI} = \ln \left( \frac{E_{ij}}{E} \right) = \ln \left( \frac{\frac{L_{ij}}{L_T}}{\frac{P_{ij}}{P_L}} \right) \quad [2]$$

در این رابطه،  $W_{SI}$  وزن داده شده به کلاس  $i$  از پارامتر  $j$ ،  $E_{ij}$  تراکم وقوع پدیده در کلاس  $i$  از پارامتر  $j$ ،  $E$  تراکم وقوع پدیده در کل نقشه،  $L_{ij}$  تعداد وقوع پدیده‌های کلاس  $i$  از پارامتر  $j$ ،  $P_{ij}$  تعداد پیکسل‌های کلاس  $i$  از پارامتر  $j$ ،  $P_L$  تعداد پیکسل‌های کل نقشه،  $L_T$  تعداد کل وقوع پدیده در کل نقشه. روش وزن شواهد یک روش داده محور مورداً استفاده برای ترکیب مجموعه داده‌ها است و بر استفاده از فرم خطی از مدل احتمال بیزین (Bayesian) برای برآورد اهمیت نسبی شواهد با استفاده از آمار استوار است (۳).  $N_{pix1}$  تعداد پیکسل‌های وقوع سیل در هر کلاس،  $N_{pix2}$  (تعداد کل پیکسل‌های سیل در هر نقشه - تعداد پیکسل‌های وقوع سیل در هر کلاس)،  $N_{pix3}$  (تعداد پیکسل‌های هر کلاس - تعداد پیکسل‌های وقوع سیل در

مساحت حوزه است. که چگونگی جریان آب، توسط شبکه آبراهه‌های حوزه را نشان می‌دهد. نقشه تراکم زهکشی با استفاده از سلول‌های  $30 \times 30$  متر در چهار گروه طبقه‌بندی گردید (شکل ۴ ح).

فاصله از رودخانه یکی از مهمترین عوامل در سیل گرفتگی اراضی مجاور است. نقشه فاصله از رودخانه‌های مجاور بر اساس لایه رقومی شبکه جریان حوزه آبخیز مادرسو در نرم‌افزار ArcGIS<sup>®</sup> 10.2 تهیه گردید. نقشه حاصل به پنج کلاس کمتر از ۵۰۰ متر،  $500-1000$ ،  $1000-2000$ ،  $2000-3000$  و بیشتر از  $3000$  متر، طبقه‌بندی گردید (شکل ۴ و).

شاخص رطوبت توپوگرافی (Topographic Wetness Index: TWI) تعیین‌کننده تأثیر توپوگرافی بر روی میزان سطوح اشباع جهت تولید رواناب است و یکی از شاخص‌های مفید در بررسی پتانسیل سیل حوزه‌های آبخیز به شمار می‌رود. شاخص رطوبت توپوگرافی بر اساس رابطه ۱ مشخص گردید (شکل ۴ ز). در این رابطه، AS سطح ویژه حوزه آبخیز و  $\beta$  شیب زمین (بر حسب درجه) می‌باشد (۲۲).

$$TWI = \ln \left( \frac{A_s}{\tan \beta} \right) \quad [1]$$

خاک‌شناسی این عامل نقش مهمی را در توزیع رواناب سطحی و زیرسطحی ایفا می‌کند. ویژگی‌های سنگ‌شناسی و خاک‌شناسی در میزان نفوذپذیری آب در درون زمین و یا آبدوی مستقیم و در نتیجه تعادل جریان رودخانه و یا سیل‌خیزی حوزه تأثیر بسزایی دارند. لایه خاک‌شناسی از نقشه بافت خاک حوزه مادرسو (با مقیاس ۱:۱۰۰۰۰۰ تهیه شده توسط وزارت کشاورزی) استخراج گردید (شکل ۴ ه).

زمین‌شناسی به دلیل تأثیر مستقیم بر توان نفوذپذیری و رواناب سطحی، یکی از عوامل مهم در پدیده سیل حوزه‌های آبخیز است. نقشه زمین‌شناسی حوزه آبخیز مادرسو با استفاده از نقشه‌های زمین‌شناسی ۱:۱۰۰۰۰۰ سازمان زمین‌شناسی تهیه و رقومی گردید. نقشه زمین‌شناسی منطقه در کلاس‌های سنی کرتاسه، دوونین، ائوسن، ژوراسیک، میوسن، پروتوزوئیک،

(Wf)، بزرگی ارتباط مکانی عامل علتی و موقعیت سیل را نشان می‌دهد که از رابطه ۵ محاسبه گردید (۷).

$$W_f = W_i^+ - W_i^- \quad [5]$$

برای به دست آوردن وزن نهایی هر عامل، وزن‌های مثبت و منفی کلاس‌های متعدد هر عامل باهم جمع می‌شوند (رابطه‌های ۶ و ۷). اگر وزن عاملی مثبت باشد، در موقعیت سیل و آب‌گرفتگی نقش دارد و در صورتی که وزن عامل منفی باشد، بیانگر عدم اثر عامل در بروز موقعیت سیل و آب‌گرفتگی است. برخی عوامل هم تأثیر ناچیزی در موقعیت سیل دارند و وزن آنها صفر یا نزدیک به صفر است. با وارد کردن وزن‌ها در محیط ArcGIS® 10.2 بر روی نقشه‌های موضوعی، نقشه موضوعی وزنی به دست می‌آیند. از مجموع این نقشه‌ها، نقشه پیش‌بینی استعداد و موقعیت سیل و آب‌گرفتگی محاسبه گردید.

هر کلاس)،  $N_{pix4}$  (تعداد کل پیکسل‌های هر نقشه- تعداد کل پیکسل‌های موقعیت سیل هر نقشه- تعداد پیکسل‌های هر کلاس + تعداد پیکسل‌های موقعیت سیل در هر کلاس است که از رابطه‌های ۳ و ۴ تعیین گردید (۷).

$$W_i^+ = \log_e \frac{\frac{N_{pix1}}{N_{pix1} + N_{pix2}}}{\frac{N_{pix3}}{N_{pix3} + N_{pix4}}} \quad [3]$$

$$W_i^- = \log_e \frac{\frac{N_{pix2}}{N_{pix1} + N_{pix2}}}{\frac{N_{pix4}}{N_{pix3} + N_{pix4}}} \quad [4]$$

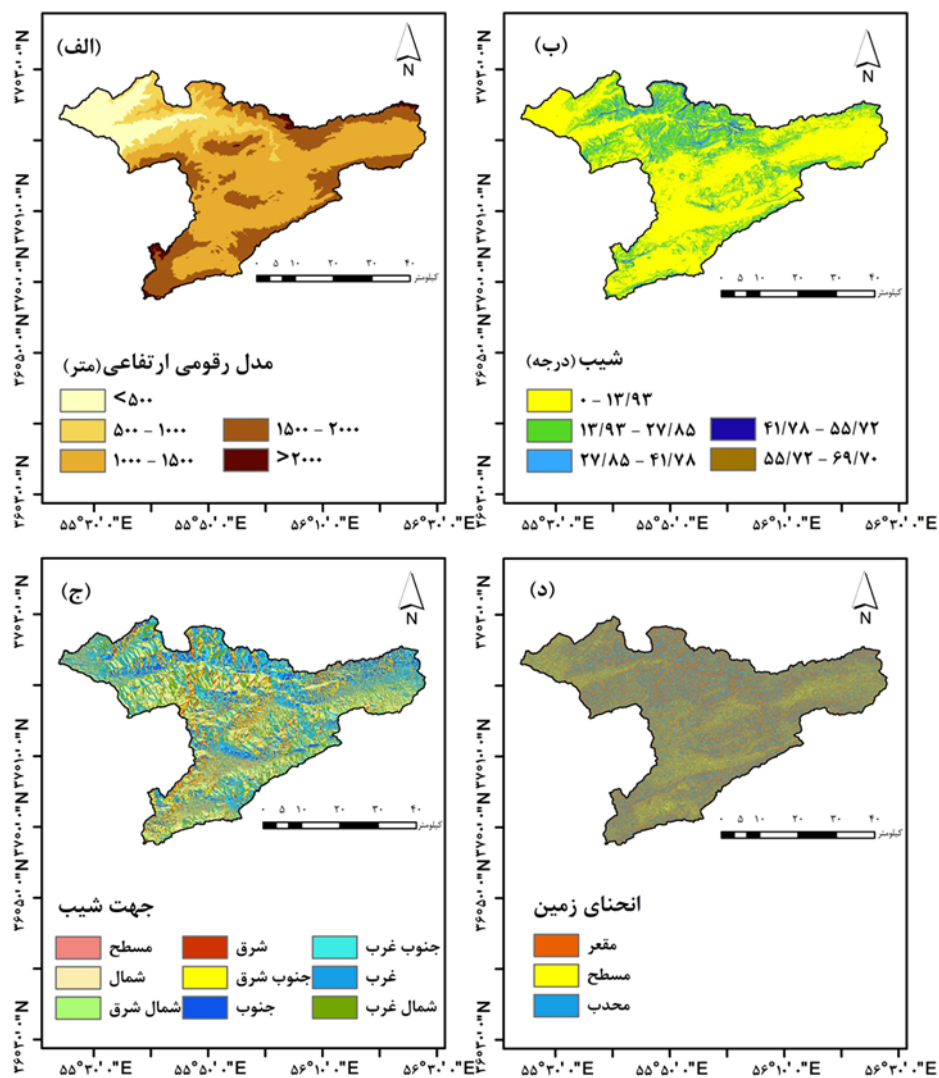
وزن مثبت ( $W^+$ ) نشان می‌دهد که عامل علتی در محل موقعیت سیل وجود دارد و بزرگی این وزن، همبستگی بین آن عامل و موقعیت سیل را بیان می‌کند. اما وزن منفی ( $W^-$ ) بیانگر عدم عامل مورد نظر در محل بروز سیل بوده، سطح منفی همبستگی را نشان می‌دهد. اختلاف بین دو وزن مثبت و منفی

[۷]

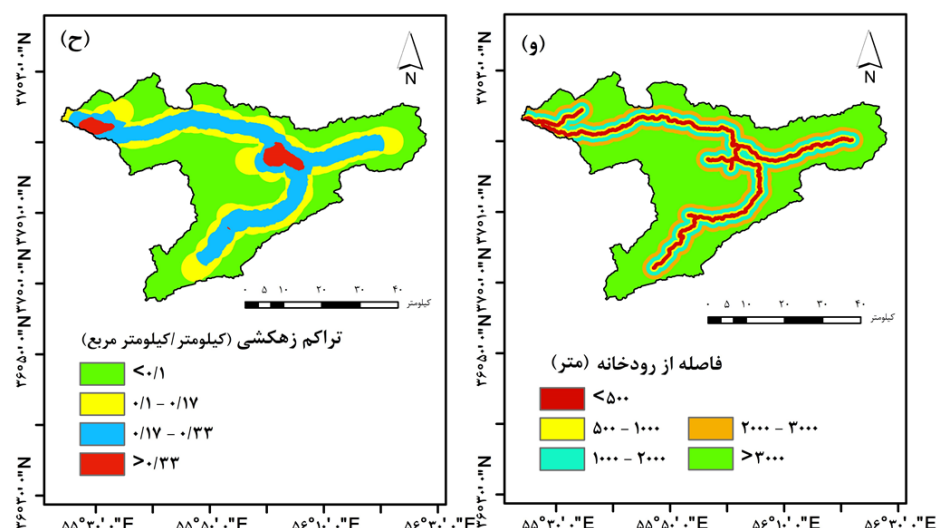
$$FSI_{Wf} = \left( (Altitude_{Wf}) + (Slope angle_{Wf}) + (Slope aspect_{Wf}) + (Plan curvature_{Wf}) + (Distance from river_{Wf}) \right) \\ + (Soil type_{Wf}) + (Drainage density_{Wf}) + (TWI_{Wf}) + (Lithology_{Wf}) + (Landuse_{Wf})$$

[۸]

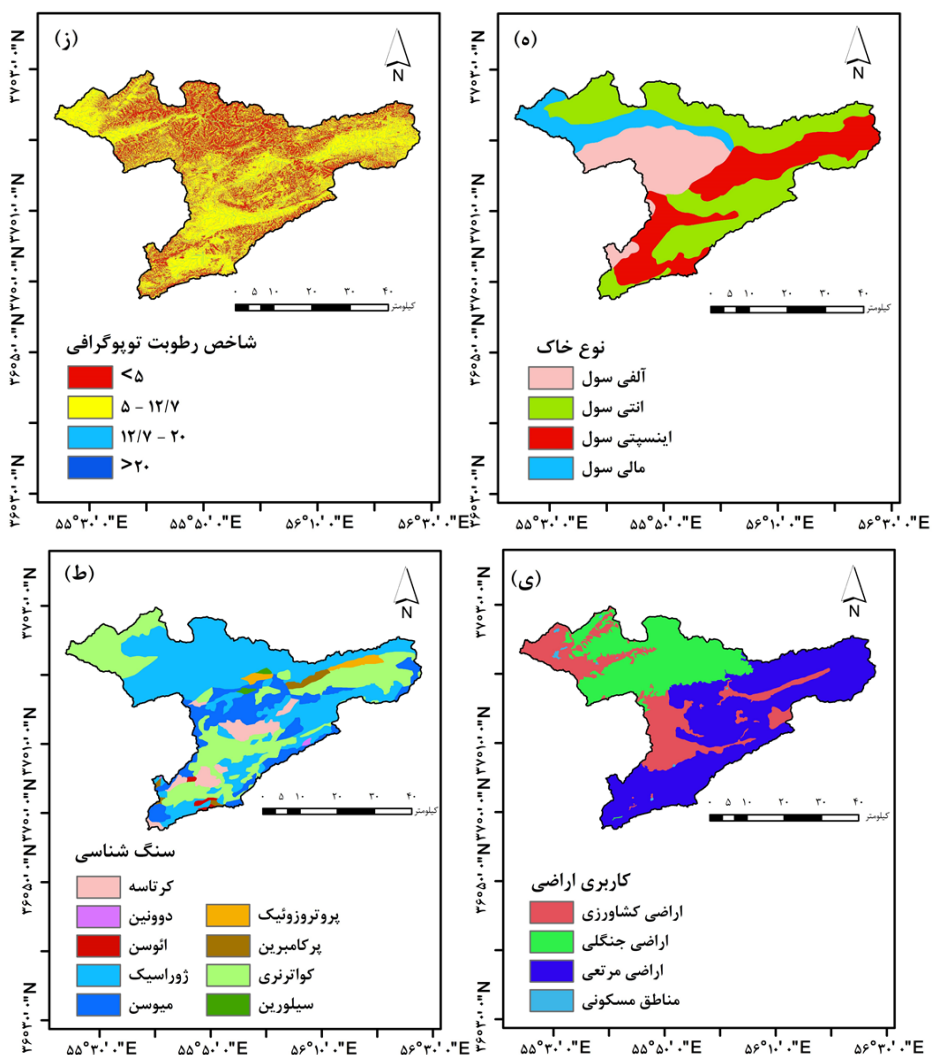
$$FSI_{SI} = \left( (Altitude_{SI}) + (Slope angle_{SI}) + (Slope aspect_{SI}) + (Plan curvature_{SI}) + (Distance from river_{SI}) \right) \\ + (Soil type_{SI}) + (Drainage density_{SI}) + (TWI_{SI}) + (Lithology_{SI}) + (Landuse_{SI})$$



شکل ۳. نقشه ارتفاع از سطح دریا (الف)، درجه شیب (ب)، جهت شیب (ج) و انحنای زمین (د) حوزه آبخیز مادرسو



شکل ۴. نقشه تراکم زهکشی (ح) و فاصله از رودخانه (و)



ادامه شکل ۴. نقشه شاخص رطوبت توپوگرافی (ز) و سنگشناسی (ط) و نوع خاک (ه) و کاربری اراضی (ی) حوزه آبخیز مادرسو

منفی و مثبت برای هر مقدار احتمالی از پیش‌بینی‌هاست (۳). مقدار سطح زیر منحنی (AUC)، یک شاخص کمی برای نمایش کارایی و قدرت پیش‌بینی مدل است (۲). دامنه مقداری مختلف سطح زیر منحنی بین ۰/۵ (پیش‌بینی تصادفی) تا حداقل ۱ (پیش‌بینی کاملاً صحیح) است (۲۰). همبستگی کیفی-کمی سطح زیر منحنی و ارزیابی تخمین به صورت  $-1 - 0/9$ ، عالی؛  $-0/8$ ، خیلی خوب؛  $-0/7$ ، خوب؛  $-0/6$ ، متوسط و  $-0/5$ ، ضعیف) است (۱۹) (جدول ۱). یک نقشه از موقعیت جغرافیایی ۷۰ واقعه سیل رخداده در سال ۱۳۸۰ در حوزه آبخیز مادرسو گلستان بر اساس اطلاعات شرکت آب منطقه‌ای استان گلستان تهیه گردید. این مجموعه

#### ارزیابی مدل‌ها

در روش وزن شواهد و شاخص آماری برای وزندهی به لایه‌های مختلف اطلاعاتی از نقشه موقعیت وقوع سیل‌های منطقه استفاده شد. بعد از تهیه نقشه‌های وزنی بر اساس روابط مدل، نقشه پهن‌بندی حساسیت وقوع سیل تهیه شد و برای طبقه‌بندی متغیرهای مستقل، روش چارک (Quantile) استفاده شد. این روش توسط شفایپور تهرانی و همکاران (۲۷، ۲۸) به دلیل کارایی بهتر آن، در طبقه‌بندی مورد استفاده قرار گرفته است. به منظور ارزیابی عملکرد مدل از سطح زیر نمودار AUC به دست آمده از منحنی ROC استفاده گردید. منحنی ROC یک نمایش گرافیکی از موازنی بین نرخ خطای

شده است. درجه شیب در نفوذ رواناب سطحی و سرعت جریان آب نقش دارد. در مناطق با شیب مایم، جریان رواناب کند بوده و آب زمان بیشتری برای نفوذ پیدا می‌کنند. بر اساس نتایج این پژوهش احتمال وقوع سیل با کاهش زاویه شیب افزایش چشمگیری داشته است. زمانی که در اراضی پایین‌دست شیب کم شده و اراضی وسیع‌تر می‌شود در این محدوده زمین‌های آبرفتی وسیعی ظاهر می‌شوند. از این اراضی برای کشاورزی استفاده می‌شود. در موقع سیلاب رودخانه ممکن است این اراضی تخریب شوند. درجه شیب نفوذ رواناب سطحی و سرعت جریان آب را کنترل می‌کند. در مناطق با شیب مایم، جریان رواناب کند بوده و آب زمان بیشتری برای نفوذ پیدا می‌کنند. هرچه درجه شیب کمتر باشد، احتمال آب‌گرفتگی و وقوع سیل بیشتر است (۲۸). جهت کلی شیب یک حوزه آن است که بتواند مقدار حرارتی را که آن حوزه از خورشید کسب می‌کند، کنترل نماید و در نتیجه میزان تبخیر و تعرق را در آن حوزه تغییر دهد. بررسی عامل جهت شیب با دو مدل SI و WoE نشان می‌دهد شیب جهت شرق دارای کمترین ارزش و اراضی مسطح (بدون جهت) میزان SI و WoE بالاترین ارزش را دار است (جدول ۲). جهت شیب بر روی تأخیر در ذوب شدن ناشی از تفاوت درجه حرارت، رطوبت خاک، تبخیر و تعرق و در نتیجه پوشش گیاهی تأثیر دارد (۲۷). فاکتور انحنای زمین در هر دو مدل SI و WoE نشان می‌دهد اراضی مقعر دارای بیشترین ارزش و شکل محدب کمترین ارزش بود. تحدب و تقعر شیب با کنترل حرکت آب و رواناب و تأثیر بر زهکشی و نگهداری آب در خاک اراضی شیب‌دار نقش دارند. اطلاعات ژئومورفولوژی مفید می‌تواند از طریق تجزیه و تحلیل انحنای زمین استخراج گردد (۱۴، ۲۶ و ۲۸). تراکم زهکشی یکی از مهم‌ترین پارامترهای ژئومورفولوژیک حوزه‌های آبخیز است که اغلب از آن به عنوان شاخصی برای بیان وضعیت آبراهه‌های حوزه، بارندگی و ظرفیت نفوذپذیری، تکامل توپوگرافی و فرسایش حوزه استفاده می‌شود. این شاخص به وسیله عوامل مختلفی مثل اقلیم، پوشش گیاهی، زمین‌شناسی سنگبستر تحت تأثیر

به صورت تصادفی به یک گروه متشكل از ۴۹ واقعه سیل (٪۷۰) برای آموزش و اسننجی (Training) و یک گروه متشكل از ۲۱ واقعه سیل (٪۳۰) برای اعتبارسنجی (Validation) تقسیم گردید. موقعیت واقعه‌های سیل گروه آموزش و گروه اعتبارسنجی در شکل ۱ مشاهده می‌گردد.

#### جدول ۱. همبستگی کیفی - کمی سطح زیر منحنی

دقت پیش‌بینی	مقادیر سطح زیر منحنی (AUC)
عالی	۰/۹ - ۱
خیلی خوب	۰/۸ - ۰/۹
خوب	۰/۷ - ۰/۸
متوسط	۰/۶ - ۰/۷
ضعیف	۰/۵ - ۰/۶

#### نتایج و بحث

نتایج حاصل از ارتباط بین هریک از عوامل مؤثر و نقاط قوی سیل با استفاده از مدل‌های SI و WoE در جدول ۲ ارائه شده است. رابطه بین SI و فاکتور ارتفاع از سطح دریا نشان می‌دهد در ارتفاع کمتر از ۵۰۰ متر میزان SI (صفر و منفی) است و ارتفاعات بیشتر از ۱۵۰۰ متر میزان SI (صفر و منفی) است و رابطه بین WoE و فاکتور ارتفاع از سطح دریا بیانگر این است که در ارتفاع کمتر از ۵۰۰ متر ارزش WoE مقداری منفی است. ارتفاعات بیشتر از ۱۵۰۰ متر ارزش WoE مقداری منفی است. ارتفاع از سطح دریا عوامل بسیار مهم در پدیده‌های هیدرولوژیکی است، اهمیت این عامل به دلیل تأثیری است که بر روی تغییرات دما و بارش دارد. در این مطالعه عامل ارتفاع از سطح دریا با احتمال آب‌گرفتگی و وقوع سیل رابطه معکوس دارد. طبق جدول ۲ بیشتر زمین‌های اطراف رودخانه‌های اصلی، دشت‌ها و نواحی کم ارتفاع در معرض خطر وقوع سیل قرار دارند. عامل درجه شیب نشان می‌دهد، شیب‌های ۰-۲۷/۸۵ ارزش SI بالاترین مقدار و در شیب‌های WoE بیشتر از ۴۱/۷۸ SI کمترین مقدار است. ارزش نیز همانند مدل SI در شیب‌های کمتر از ۲۷/۸۵ بیشترین مقدار و در شیب‌های بالاتر از ۲۷/۸۵ مقداری منفی یا صفر برآورد

نموده است. از خصوصیات خاک مالی سول می‌توان به نفوذپذیری، مواد تشکیل دهنده، میزان تکامل یافتنگی و ساختار آن اشاره کرد (۱). بنابراین نفوذپذیری بالا و عمق کم آن سبب می‌گردد به سرعت از آب اشباع و در نتیجه احتمال وقوع آب‌گرفتنگی در آن افزایش می‌یابد. در خاک‌های نفوذپذیر، بیشتر بارش در زمین نفوذ کرده و جریان‌های زیر قشری و زیرزمینی را تقویت می‌کند درحالی‌که در خاک‌های با بافت ریز، بخش زیادی از آن را به صورت رواناب سطحی درمی‌آید. بنابراین باید تأثیر لیتلولوژی، ژئومورفولوژی و خاک منطقه را روی جریان آب‌ها در نظر داشت. نقش لیتلولوژی و خاک در هیدرولوژی مربوط به تبدیل بارش به جریان آب می‌باشد. بررسی فاکتور سنگ‌شناسی نشان می‌دهد بیشترین ارزش SI و WoE در کلاس کواترنری می‌باشد (جدول ۲). سازندهای دوره کواترنری به علت وجود واحدهای مارنی و کنگلومراپی جریان‌های سیلانی بیشتری را دارند، خاک‌های مارنی دارای کمترین نفوذ، بیشترین رواناب و بالاترین فرسایش می‌باشد. همچنین بخش عده سنتگ‌های ژوراسیک در این گستره را مارن، سنگ‌آهک، شیل‌های آهکی و دولومیت تشکیل می‌دهد. پارامتر کاربری اراضی نشان می‌دهد اراضی کشاورزی در مدل‌های SI و WoE بیشترین احتمال وقوع سیل و اراضی جنگلی و مرتتعی به علت اینکه کمترین مساحت را در حوزه آبخیز مادرسو اشغال نموده‌اند، کمترین احتمال وقوع سیل را دارا می‌باشند (جدول ۲). کاربری اراضی یکی از مهم‌ترین عوامل مؤثر در تشکیل رواناب سطحی و پتانسیل وقوع سیل حوزه‌های آبخیز محسوب می‌شود. در هنگام ریزش آب باران‌های سنگینی که باعث بروز سیلاب‌ها می‌شوند، ذرات آب با شاخ و برگ درختان جنگل برخورد می‌کنند و تا حد زیادی از سرعت آن‌ها کاسته می‌شود. همچنین خاک جنگل هم پوشیده از شاخ و برگ گیاهان و درختان است که باعث جذب آب می‌شود و جویبارهایی با آب زلال را به وجود می‌آورد.

قرار می‌گیرد (۵). مقدار تراکم زهکشی، یک شاخص مهم در تعیین شدت سیلاب‌ها، میزان بار رسوی، بیلان آب در کل حوزه و به طورکلی در چگونگی فعالیت فرآیندهای رواناب‌های سطحی است (۶). در تراکم زهکشی بیشتر از  $0/33$  بیشترین میزان SI و WoE برآورد شده است که نشان می‌دهد این کلاس قوی‌ترین رابطه با وقوع سیل دارد (جدول ۲). آبراهه‌ها در حوزه، عمل تخلیه جریان‌های سطحی را انجام می‌دهند و با فاصله گرفتن از آبراهه، خطر وقوع سیل کاهش می‌یابد (۹). عامل فاصله از رودخانه نشان می‌دهد فواصل  $500-2000$  متری ارزش SI و WoE بالاترین و فواصل بیش از  $3000$  متر ارزش SI و WoE کمترین مقدار است، که نشان‌دهنده عدم وقوع سیل در این فاصله از رودخانه است. پارامتر TWI اثر توپوگرافی را در تولید رواناب با فرض پایداری و یکنواختی شرایط خاک بیان می‌کند، ارزیابی این شاخص نشان می‌دهد که طبقه ۵-۱۲/۷ ارزش SI و WoE بیشترین مقدار است (جدول ۲). شاخص رطوبت توپوگرافی بیانگر مقدار انباشت جریان در هر مکان در یک حوزه آبخیز و روند قدرت جریان آب به پایین‌دست براثر نیروی گرانش می‌باشد. همچنین این پارامتر با وضعیت رطوبت خاک ارتباط دارد (۲۵ و ۲۶). بر اساس تجزیه و تحلیل نتایج مدل شاخص آماری، خاک‌های تیپ مالی سول میزان SI برابر  $1/719$  و ارزش  $2/55$  WoE برابر همچنین خاک‌های تیپ آلفی سول میزان SI و WoE به ترتیب برابر  $1/595-1$  و  $1/778-1$  است. جنس مواد تشکیل دهنده سطح زمین تعیین‌کننده قابلیت نفوذ آب در حوزه است. به طوری‌که خاک‌های با قابلیت نفوذپذیری بالا می‌توانند مقدار زیادی از بارش را جذب کرده و مقدار رواناب را در سطح زمین کاهش دهد. طبیعی است حوزه‌های با جنس سنگ نفوذپذیر نفوذ آب‌گرفتنگی کمتری داشته و حوزه‌های با جنس سنگ غیرقابل نفوذ مستعد ایجاد سیلاب، به دنبال بارندگی‌های کمتر خواهند. اراضی با نوع خاک مالی سول بیشترین تعداد سیل را تجربه

جدول ۲. نتایج حاصل از تأثیر پارامترهای مؤثر بر وقوع سیل در مدل شاخص آماری (SI) و مدل وزن شواهد (WoE)

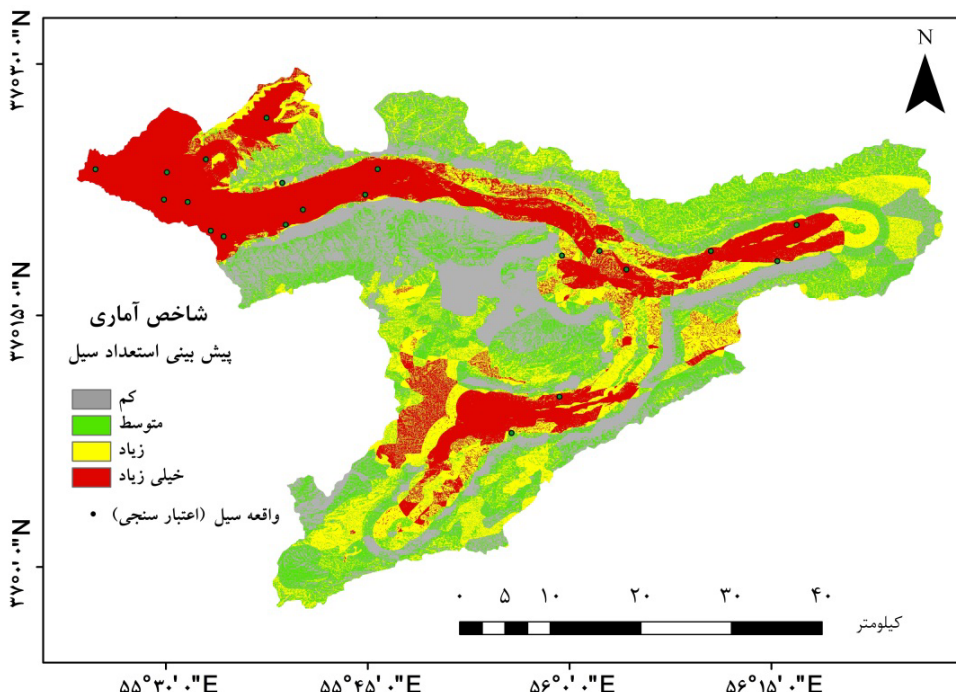
متغیرهای مستقل	کلاس	تعداد پیکسل‌ها در	درصد پیکسل‌ها در	تعداد	درصد	SI	Wi+	Wi-	Wf
ارتفاع از سطح دریا (متر)	<500	276460	10/77	32	60/31	1/802	-0/945	-0/947	2/747
فاصله از روختانه (متر)	500-1000	272046	10/60	4	8/16	-0/261	-0/261	0/027	-0/288
(کیلومتر/کیلومترمربع)	1000-1500	1305610	50/86	13	26/53	-0/501	-0/501	0/402	-1/053
شاخص رطوبت	1500-2000	666306	20/96	•	•	0/301	0/301	0/301	-0/301
توپوگرافی	>2000	46544	1/81	•	•	0/18	0/18	0/18	-0/18
نوع خاک	<0/01	1338984	52/16	•	•	0/737	0/737	0/737	-0/737
کاربری اراضی	0/01-0/17	5493363	21/40	5	10/20	-0/741	-0/741	0/133	-0/874
زمین کشاورزی	0/17-0/33	5984333	22/31	31	63/27	0/998	0/998	-0/736	1/834
مقدار	>0/33	80186	3/12	13	26/53	2/139	2/139	-0/277	2/416
دسترسی	500<	216190	8/42	4	8/16	-0/31	-0/31	0/31	-0/31
آبیاری	500-1000	197138	7/68	14	28/57	1/314	1/314	-0/26	1/57
آبیاری	1000-2000	355363	13/84	27	55/10	1/381	1/381	-0/65	2/03
آبیاری	2000-3000	329807	12/85	4	8/16	-0/454	-0/454	0/05	-0/51
آبیاری	>3000	1478418	57/20	•	•	0/80	0/80	0/80	-0/80
آبیاری	<5	861206	32/50	12	24/49	-0/315	-0/315	0/128	-0/43
آبیاری	5-12/7	1662190	75/51	37	75/51	0/154	0/154	-0/364	0/518
آبیاری	12/7-20	417613	1/63	•	•	0/02	0/02	-0/02	-0/02
آبیاری	>20	1707	0/07	•	•	•	•	•	•
آبیاری	آلفی سول	516267	20/11	2	40/8	-1/095	-1/095	0/183	-1/778
آبیاری	انتی سول	1080624	42/10	10	20/41	-0/724	-0/724	0/318	-1/042
آبیاری	اینسپیتی سول	788404	26/82	7	14/29	-0/730	-0/730	0/158	-0/788
آبیاری	مالی سول	281671	10/97	30	61/22	1/719	1/719	-0/831	2/500
آبیاری	کرتاسه	130634	5/10	•	•	0/052	0/052	0/052	-0/052
آبیاری	دوونین	4162	0/16	•	•	•	•	•	•
آبیاری	ائوسن	13377	0/52	•	•	•	•	•	•
آبیاری	ژوراسیک	1185498	47/18	15	30/61	-0/411	-0/411	0/254	-0/665
آبیاری	میوسن	384916	14/99	3	712	-0/896	-0/896	0/999	-0/990
آبیاری	پروتوزوئیک	44221	1/72	•	•	0/17	0/17	0/017	-0/017
آبیاری	پر کامبرین	33612	1/31	•	•	0/13	0/13	0/013	-0/013
آبیاری	کراتنری	759585	29/59	31	63/27	0/760	0/760	-0/651	1/411
آبیاری	سیلورین	10961	0/43	•	•	•	•	•	•
آبیاری	زمین کشاورزی	569019	22/17	28	57/14	0/947	0/947	-0/097	1/544
آبیاری	اراضی جنگلی	707397	27/56	10	20/41	-0/300	-0/300	0/094	-0/394
آبیاری	اراضی مرتعب	1282210	49/95	11	22/45	-0/800	-0/800	0/438	-1/238
آبیاری	مناطق شهری	8340	0/32	•	•	•	•	•	•
آبیاری	0-13/93	1763692	78/71	35	71/53	0/39	0/39	-0/91	0/130
آبیاری	13/93-27/85	646449	20/18	13	27/53	0/02	0/02	-0/18	0/070
آبیاری	27/85-41/78	138807	5/41	1	20/4	-0/974	-0/974	0/350	-1/009
آبیاری	41/78-55/72	17097	0/17	•	•	0/07	0/07	-0/007	-0/007
آبیاری	55/72-69/7	921	0/04	•	•	•	•	•	•
جهت شیب	مسطح	17179	0/67	1	2/04	1/115	1/115	-0/014	1/129
جهت شیب	شمال	418558	16/33	8	16/33	0/001	0/001	0/001	0/001
جهت شیب	شمال شرق	265949	10/36	3	712	-0/026	-0/026	0/046	-0/072
جهت شیب	شرق	235065	9/18	•	•	0/96	0/96	0/096	-0/096
جهت شیب	جنوب شرق	300124	11/69	4	8/16	-0/309	-0/309	0/398	-0/398
جهت شیب	جنوب	397116	10/47	12	24/49	0/409	0/409	-0/113	0/572
جهت شیب	جنوب غرب	281170	10/95	6	12/24	0/111	0/111	-0/015	0/126
جهت شیب	غرب	284575	11/09	10	20/41	0/610	0/610	-0/111	0/721
جهت شیب	شمال غرب	366730	14/29	5	10/20	-0/337	-0/337	0/047	-0/283
جهت شیب	مغار	1116224	43/48	27	50/10	0/237	0/237	-0/230	0/467
جهت شیب	سطح	363300	14/15	8	16/33	0/143	0/143	-0/026	0/169
جهت شیب	محدب	1087442	42/36	14	28/57	-0/394	-0/394	0/210	-0/608
انحنای زمین	انحنای زمین	363300	14/15	8	16/33	0/143	0/143	-0/026	0/169

مخازن تأثیری و تعدیلی موجب کاهش بده سیلابی می‌شود. در نهایت، نقشه وزنی نهایی از جمع جبری نقشه‌های موضوعی وزنی در محیط ArcGIS® 10.2 به دست آمد و با توجه به دامنه تغییرات وزن پیکسل‌ها در چهار طبقه تقسیم و بر مبنای آن نقشه پهنه‌بندی حساسیت وقوع سیل در حوزه آبخیز مادرسو استان گلستان در پهنه‌های با حساسیت خیلی زیاد، متوسط و کم ترسیم شد (شکل ۵ و شکل ۶). نقشه پهنه‌بندی حساسیت وقوع سیل نشان می‌دهد که در مدل SI حدود ۲۴/۹۸ درصد و در مدل W0E حدود ۲۴/۹۴ درصد از مساحت حوزه در طبقه با حساسیت خیلی زیاد قرار دارد (جدول ۳).

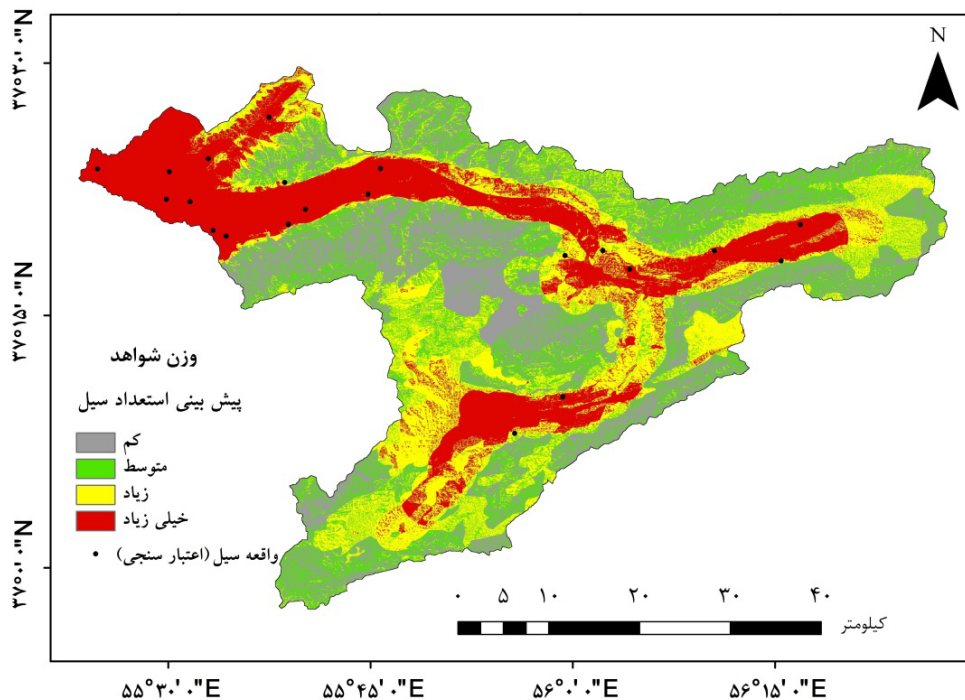
اراضی کشاورزی موجود در حوزه آبخیز مادرسو در ایجاد سیل نقش بیشتری داشته‌اند که دلیل آن را می‌توان به نقش انسان در اکوسیستم‌های منطقه و تخریب‌هایی که به‌واسطه تغییر این کاربری‌ها اعمال کرده، نسبت داد. کاربری اراضی روی جریان رودخانه و وقوع سیلاب به روش‌های مختلفی تأثیر می‌گذارد. مثلاً از بین بردن پوشش گیاهی و یا تغییر در نوع و نحوه کشت و کار گیاهانی که تلفات برگ آبی زیادی ندارند سبب افزایش حجم جریان و فزومنی بده سیلاب می‌گردد. هرگونه عملیاتی در حوزه که سبب کاهش ذخیره رطوبت خاک و یا کاهش نفوذپذیری گردد موجب افزایش بده سیلابی می‌گردد. چراً مفرط دام سبب فشردگی خاک و از بین رفتن پوشش گیاهی می‌گردد و از سوی دیگر احداث

جدول ۳. مساحت هر منطقه به تفکیک میزان استعداد سیل و آب گرفتگی

کلاس	شاخص آماری (کیلومترمربع)	مساحت به درصد	وزن شواهد (کیلومترمربع)	مساحت به درصد	مساحت به درصد
کم	۵۷۸/۰۴۵	۲۵/۰۲	۵۸۰/۳۲۹	۲۵/۱۲	
متوسط	۵۷۷/۴۳۲	۲۵	۵۷۷/۲۵۶	۲۴/۹۹	
زیاد	۵۷۷/۵۰۶	۲۵	۵۷۶/۳۰۵	۲۴/۹۵	
خیلی زیاد	۵۷۷/۲۰۴	۲۴/۹۸	۵۷۶/۲۹۷	۲۴/۹۴	



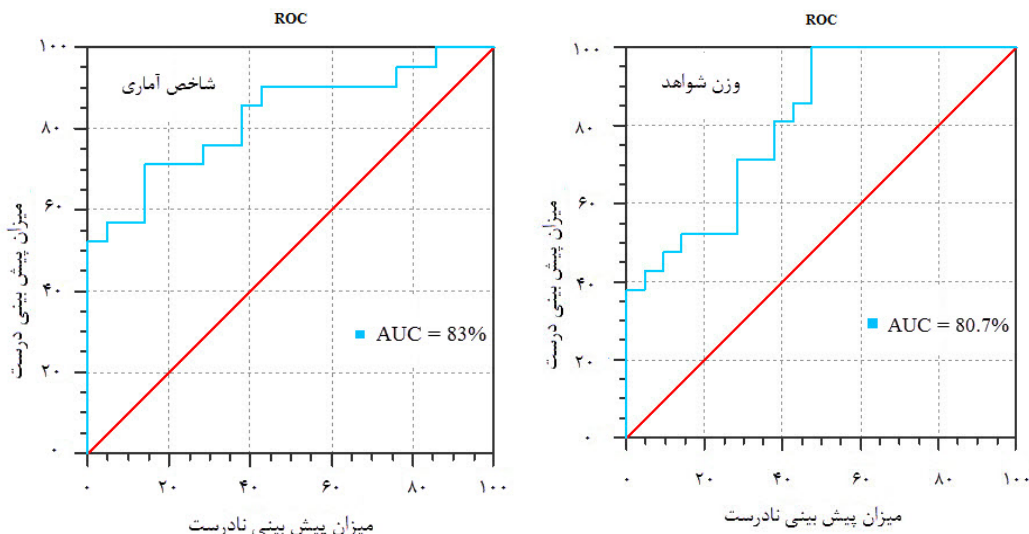
شکل ۵. نقشه پیش‌بینی پتانسیل سیل حوزه آبخیز مادرسو با استفاده از مدل شاخص آماری



شکل ۶. نقشه پیش‌بینی پتانسیل سیل حوزه آبخیز مادرسو با استفاده از مدل وزن شواهد

سیل با نقشه پیش‌بینی پتانسیل سیل، به طبقات حضور نقاط وقوع، کد یک و به سایر نقاط کد صفر تعلق گرفت. سپس بر اساس منابع مختلف از روش منحنی ROC برای ارزیابی و اعتبارسنجی دقت نقشه پیش‌بینی پتانسیل سیل حوزه آبخیز مادرسو استفاده شد. بدین منظور منحنی ROC مربوط به نقشه مذبور با استفاده از نرم‌افزار SPSS جهت تعیین دقت مدل پیش‌بینی تهیه گردید. مساحت زیر این منحنی (AUC) میزان دقت نقشه پیش‌بینی سیل را به صورت کمی نشان می‌دهد (شکل ۷).

به‌منظور اعتبارسنجی نقشه پیش‌بینی پتانسیل سیل حوزه آبخیز مادرسو، مجموعه‌ای متمایز از داده‌های موقعیت سیل که در مدل احتمالاتی استفاده نشده‌اند، به‌کاررفته شد. در این مرحله ۲۱ واقعه سیل (۲۱ نقطه) در سیستم اطلاعات جغرافیایی با نقشه پیش‌بینی پتانسیل سیل روی هم‌گذاری و مورد تجزیه و تحلیل قرار گرفت. به این صورت که علاوه بر ۲۱ نقطه واقعه سیل شناسایی شده در منطقه، ۲۱ پیکسل و یا نقطه رستری دیگر به‌طور تصادفی در سراسر حوزه انتخاب شده تا به عنوان نقاط بدون وقوع سیل در تجزیه و تحلیل مورد استفاده قرار گیرد. پس از همپوشانی ۴۲ نقطه وقوع سیل و عدم وقوع



شکل ۷. منحنی ROC نقشه پیش‌بینی استعداد سیل و آب‌گرفتگی بر اساس دو مدل شاخص آماری و وزن شواهد در حوزه آبخیز مادرسو

رحمتی و همکاران (۲۰)، شفایپور‌تهرانی و همکاران (۲۵، ۲۶، ۲۷، ۲۸، ۲۹) تطابق دارد. به این ترتیب با شناسایی و ارزیابی در حوزه آبخیز مادرسو، توجه به محیط طبیعی و نواحی حساس به وقوع سیل و آب‌گرفتگی در اجرای برنامه‌های عمرانی و فعالیت‌های انسانی و غیره امری ضروری است.

### منابع مورد استفاده

۱. امینی‌جهرمی، ح.، م.‌ی. ناصری، ف.، خرمالی و س.‌ع. موحدی نائینی. ۱۳۸۸. تغییر در خواص و مشخصات خاک ناشی از موقعیت‌های مختلف اجزا زمین‌نما در خاک‌های با مواد مادری لسی در دو اقلیم متفاوت در استان گلستان. پژوهش‌های حفاظت آب و خاک، ۱۶(۱): ۱۷-۱.
۲. بهداروند، ن.، م. کابلی، ب. جباریان امیری، ر. ابراهیم پور، م. اسدی آقبلاغی و ج. ایمانی هرسینی. ۱۳۹۳. شناسایی مناطق پرخطر و عوامل محیطی مؤثر بر حملات گرگ به دام در استان همدان با به کارگیری روش مدل‌سازی MAXENT. محیط‌زیست طبیعی، ۶۷(۳): ۲۴۵-۲۵۲.
۳. پورقاسمی، ح. ر.، ح. مرادی و م. محمدی. ۱۳۹۲. پهنه‌بندی حساسیت زمین‌لغزش با استفاده از مدل احتمالاتی وزن واقعه. نشریه مهندسی فناوری اطلاعات مکانی، ۲۱(۲): ۶۹-۸۰.
۴. تلوی، ع. ۱۳۷۶. مدیریت مهار سیلاب (کاهش خسارت سیل)، کارگاه آموزشی - تخصصی مهار سیلاب روذخانه‌ها. مرکز

### نتیجه‌گیری

از میان روش‌های موجود برای پتانسیل‌یابی استعداد وقوع سیل روش‌های آماری به دلیل سادگی و دقت قابل قبول بیشتر مورد استفاده قرار می‌گیرند. این مطالعه با استفاده از روش شاخص آماری و مدل وزن شواهد و همچنین بهره‌گیری از سیستم اطلاعات جغرافیایی، به ارزیابی حساسیت وقوع سیل پرداخته است. بر اساس این ارزیابی ۴۹/۹ درصد مساحت حوزه آبخیز مادرسو در مناطقی بالاستعداد وقوع سیل خیلی زیاد و زیاد و حدود ۵۰/۱ درصد مساحت حوزه در مناطقی با استعداد وقوع سیل متوسط و کم واقع است. در این زمینه صحت و دقت دو مدل بکار گرفته شده با استفاده از منحنی ROC ارزیابی شد، به طوری که دقت مدل شاخص آماری ۸۳٪ و دقت مدل وزن شواهد ۸۰٪ تخمین زده شد. این وضعیت نشان‌دهنده دقت خیلی خوب دو مدل در استعداد‌یابی وقوع سیل در حوزه آبخیز مادرسو استان گلستان است. دو مدل مزبور ارتفاع کمتر از ۵۰۰ متر، جهت شبیه مسطح، تراکم زهکشی بیش از ۰/۳۳ (کیلومتر بر کیلومترمربع)، فواصل ۵۰۰-۲۰۰۰ متری روذخانه، تیپ خاک مالی‌سول، سنگ‌های دوران کواترنری و همچنین اراضی کشاورزی را با بیشترین وزن‌ها، مهم‌ترین عوامل علتی وقوع رخداد سیل و آب‌گرفتگی حوزه آبخیز مادرسو معرفی می‌کند که با یافته‌های

- predictive flooded area susceptibility mapping using GIS. In: Geoscience and Remote Sensing Symposium (IGARSS), 2012 IEEE International, 2012. IEEE, pp 895-898.
16. Liu Y, Smedt Fd. 2005. Flood modeling for complex terrain using GIS and remote sensed information. *Water Resources Management*, 19(5): 605-624.
  17. Oh H-J, Lee S. 2010. Assessment of ground subsidence using GIS and the weights-of-evidence model. *Engineering Geology*, 115(1): 36-48.
  18. Phillips SJ, Anderson RP, Schapire RE. 2006. Maximum entropy modeling of species geographic distributions. *Ecological Modelling*, 190(3): 231-259.
  19. Pradhan B. 2010. Flood susceptible mapping and risk area delineation using logistic regression, GIS and remote sensing. *Journal of Spatial Hydrology*, 9(2): 1-18.
  20. Rahmati O, Pourghasemi HR, Zeinivand H. 2016. Flood susceptibility mapping using frequency ratio and weights-of-evidence models in the Golastan Province, Iran. *Geocarto International*, 31(1): 42-70.
  21. Rautela P, Lakhera RC. 2000. Landslide risk analysis between Giri and Tons rivers in Himachal Himalaya (India). *International Journal of Applied Earth Observation and Geoinformation*, 2(3-4): 153-160.
  22. Regmi AD, Devkota KC, Yoshida K, Pradhan B, Pourghasemi HR, Kumamoto T, Akgun A. 2014. Application of frequency ratio, statistical index, and weights-of-evidence models and their comparison in landslide susceptibility mapping in Central Nepal Himalaya. *Arabian Journal of Geosciences*, 7(2): 725-742.
  23. Rosser JF, Leibovici D, Jackson M. 2017. Rapid flood inundation mapping using social media, remote sensing and topographic data. *Natural Hazards*, 1(1): 1-18
  24. Sanyal J, Lu X. 2004. Application of remote sensing in flood management with special reference to monsoon Asia: a review. *Natural Hazards*, 33(2): 283-301.
  25. Skilodimou H, Livaditis G, Bathrellos G, Verikiou-Papaspiridakou E. 2003. Investigating the flooding events of the urban regions of Glyfada and Voula, Attica, Greece: a contribution to Urban Geomorphology. *Geografiska Annaler: Series A, Physical Geography* 85 (2):197-204.
  26. Tehrany MS, Lee M-J, Pradhan B, Jebur MN, ۱۳۱
- اطلاعات علمی (مجازی)، ۱(۱): ۹۶-۱۰۳.
۵. چپی، ک.، ب. بهرامنژاد و ح. قادرمزی. ۱۳۸۰. بررسی تأثیر فاکتورهای مورفومتریک مؤثر بر تراکم زهکشی حوزه های آبخیز در اقالیم مختلف استان کردستان. طرح پژوهشی خاتمه یافته. دانشگاه کردستان. ۱۵۰ صفحه.
  ۶. زاهدی، م. و م. بیاتی خطیبی. ۱۳۸۷. هیدرولوژی. چاپ اول، انتشارات سمت، ۱۲۶ صفحه.
  ۷. کرمی، ف. ۱۳۹۱. ارزیابی حساسیت زمین‌لغزش در حوضه‌های کوهستانی نیمه‌خشک، با استفاده از روش‌های آماری و مدل وزنی شاهد (مطالعه موردی: حوضه زهکشی سعید آباد چای- شمال غرب ایران). *فصلنامه تحقیقات جغرافیایی*، ۱۰۶(۲۷): ۴۴-۲۱.
  ۸. لشکری، ح.، م. اصغرپور و ع. ا. متکان. ۱۳۸۵. تحلیل سینوپتیکی عوامل ایجاد بارش‌های سیل‌زا در استان گلستان. *پژوهشی مدرس علوم انسانی*، ۱۲(۲): ۱۸۱-۲۱۱.
  ۹. ملکیان، آ.، ا. افتادگان‌خوازانی و غ. عشورنژاد. ۱۳۹۱. پنهانبندی پتانسیل سیل‌خیزی حوزه‌ی آبخیز اخترآباد با استفاده از روش تحلیل سلسه مراتبی فازی. *پژوهش‌های جغرافیای طبیعی*، ۴۴(۴): ۱۳۱-۱۵۲.
  ۱۰. هادیانی، م. ا. ۱۳۸۵. نقش تغییر کاربری اراضی بر دبی سیالات‌های منطقه‌ای (مطالعه موردی در حوزه آبخیز مادرسو). *محیط‌شناسی*، ۳۳(۴۲): ۹-۱۶.
  11. Campolo M, Soldati A, Andreussi P. 2003. Artificial neural network approach to flood forecasting in the River Arno. *Hydrological Sciences Journal*, 48(3): 381-398.
  12. Cao C, Xu P, Wang Y, Chen J, Zheng L, Niu C. 2016. Flash Flood Hazard Susceptibility Mapping Using Frequency Ratio and Statistical Index Methods in Coalmine Subsidence Areas. *Sustainability*, 8(9): 948-960.
  13. Cevik E, Topal T. 2003. GIS-based landslide susceptibility mapping for a problematic segment of the natural gas pipeline, Hendek (Turkey). *Environmental Geology*, 44(8): 949-962.
  14. Kia MB, Pirasteh S, Pradhan B, Mahmud AR, Sulaiman WNA, Moradi A. 2012. An artificial neural network model for flood simulation using GIS: Johor River Basin, Malaysia. *Environmental Earth Sciences*, 67(1): 251-264.
  15. Lee M-J, Kang J-e, Jeon S. 2012. Application of frequency ratio model and validation for

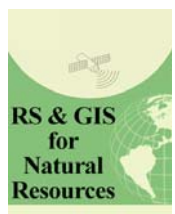
- Lee S. 2014a. Flood susceptibility mapping using integrated bivariate and multivariate statistical models. *Environmental earth sciences*, 72(10): 4001-4015.
27. Tehrany MS, Pradhan B, Jebur MN. 2013. Spatial prediction of flood susceptible areas using rule based decision tree (DT) and a novel ensemble bivariate and multivariate statistical models in GIS. *Journal of Hydrology*, 504: 69-79.
28. Tehrany MS, Pradhan B, Jebur MN. 2014b. Flood susceptibility mapping using a novel ensemble weights-of-evidence and support vector machine models in GIS. *Journal of Hydrology*, 512: 332-343.
29. Tehrany MS, Pradhan B, Jebur MN. 2015a. Flood susceptibility analysis and its verification using a novel ensemble support vector machine and frequency ratio method. *Stochastic Environmental Research and Risk Assessment*, 29(4): 1149-1165.
30. Tehrany MS, Pradhan B, Mansor S, Ahmad N. 2015b. Flood susceptibility assessment using GIS-based support vector machine model with different kernel types. *Catena*, 125: 91-101.
31. Van Westen C. 1997. Statistical landslide hazard analysis. ILWIS 2.1 for Windows application guide. ITC Publication, Enschede, 73-84.
32. Zeinivand H, Ghorbani Nejad S. 2017. Application of GIS based data driven models for groundwater potential mapping in Kuhdasht region of Iran. *Geocarto International* (just-accepted):1-23.



## RS & GIS for Natural Resources (Vol. 7/ Issue 4) winter 2017

Indexed by ISC, SID, Magiran and Noormags

<http://girs.iaubushehr.ac.ir>



# Flood prone areas mapping by using statistical index and weights of evidence models (Case study: Madar Soo watershed, Golestan)

S. Siahkamari<sup>1</sup>, H. Zeinivand<sup>2\*</sup>

1. MSc. Student of Watershed Management Engineering, Lorestan University

2. Assoc. Prof. College of Agriculture, Lorestan University

### ARTICLE INFO

#### Article history:

Received 6 December 2016

Accepted 28 January 2017

Available online 11 February 2017

#### Keywords:

Flood prone areas

Statistical index

Weights of evidence

Madar Soo

### ABSTRACT

The aim of this study is preparation of potential flooding maps in Madar Soo watershed in Golestan province. For this end, the statistical index and weights of evidence models, various data layers and geographic information systems were used. The results of the applied models indicated that, among the effective factors for flooding, the elevation lower than 500m, flat slope, drainage density more than 0.33 (km/km<sup>2</sup>), distance from river of 500-2000m, malicious soil type, quaternary rocks and agricultural land with the greatest weight, were the most important factors in the Madar Soo watershed. The results also showed that 49.9% of the area of the Madar Soo watershed had high and very high potential for flooding, and 50.1% of the study area, had medium and low potential flooding. Validation of the results using Receiver operating characteristic (ROC) curve showed that the statistical index with AUC equal to 83% performed slightly better than the weights of evidence model with AUC equal to 80.7%. These results represent very good accuracy for both models for identification of flood prone areas in the Madar Soo watershed in the Golestan province.

\* Corresponding author e-mail address: hzeinivand@gmail.com